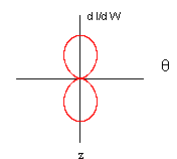
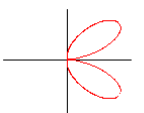
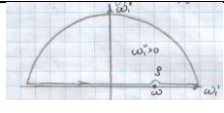
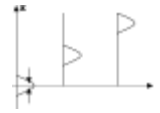


<p>20. Закон збереження енергії електромагнітного поля, теорема Умова-Пойнтинга. (Yogeniy)</p> <p>Теорема Умова-Пойнтинга --- Розглянемо тривимірні рівняння Максвелла у диференціальній формі $\text{div} \vec{B} = 0$ (1), $\text{rot} \vec{E} = -\frac{1}{c} \frac{\partial \vec{B}}{\partial t}$ (2),</p> <p>$\text{rot} \vec{B} = \frac{4\pi}{c} \vec{j} + \frac{1}{c} \frac{\partial \vec{E}}{\partial t}$ (3), $\text{div} \vec{E} = 4\pi \rho$ (4) Додможимо рівняння (2) на (-B) [не забудьте поставити над B стрілку, адже це векторна величина] а рівняння (3) на вектор E, після чого додамо ліві та праві частини цих виразів, отримуємо</p> <p>$\vec{E} \text{rot} \vec{B} - \vec{B} \text{rot} \vec{E} = \frac{4\pi}{c} \vec{j} \vec{E} + \frac{1}{c} \left(\vec{E} \frac{\partial \vec{E}}{\partial t} + \vec{B} \frac{\partial \vec{B}}{\partial t} \right) \Rightarrow -\text{div} [\vec{E} \times \vec{B}] = \frac{4\pi}{c} \vec{j} \vec{E} + \frac{1}{c} \left(\frac{\partial}{\partial t} (\vec{E}^2 + \vec{B}^2) \right)$ Додможимо ліву та праву частини виразу на c/4π, внаслідок чого отримуємо $\frac{\partial}{\partial t} \left[\frac{1}{8\pi} (\vec{E}^2 + \vec{B}^2) \right] = -\vec{j} \cdot \vec{E} - \text{div} \left[\frac{c}{4\pi} [\vec{E} \times \vec{B}] \right]$ (1). Оскільки величина $\vec{j} \cdot \vec{E} = e \vec{V} \vec{E} = \vec{V} \vec{F} = \frac{\partial}{\partial t} \vec{A}$ - це потужність, то величина $\vec{S} = \frac{c}{4\pi} [\vec{E} \times \vec{B}]$ має розмірність роботи і називається густиною енергії електромагнітного поля. Величина $\vec{S} = \frac{c}{4\pi} [\vec{E} \times \vec{B}]$ - це потік енергії, або вектор Умова-Пойнтинга.</p>	<p>Підставивши величини ω та S у вираз (1) отримуємо рівняння $\frac{\partial \omega}{\partial t} = -\vec{j} \cdot \vec{E} - \text{div} \vec{S}$ - це диференціальна форма теореми Умова-Пойнтинга.</p> <p>Про інтегруванні цей вираз по об'єму dV отримуємо власне теорему Умова-Пойнтинга (закон збереження енергії електромагнітного поля) $\frac{\partial}{\partial t} \int \omega dV = -\int \vec{j} \cdot \vec{E} dV - \int \vec{S} \cdot d\vec{\sigma}$ (заміна, що була виконана: $\int \text{div} \vec{S} dV = \int \vec{S} \cdot d\vec{\sigma}$ - це теорема Гауса). Зміст теореми Умова-Пойнтинга полягає в тому, що зміна електромагнітної енергії в замкненому об'ємі може відбуватися за рахунок потоку енергії назовні чи всередину, або за рахунок роботи, що виконується над частинками, які знаходяться в цьому об'ємі.</p> <p>Розглянемо 2 граничні випадки: 1) Система замкнена, тобто ізолювана від зовнішнього середовища, тоді потік через обмежуючу поверхню = 0, тому $\frac{\partial}{\partial t} \int \omega dV = -\int \vec{j} \cdot \vec{E} dV$ тобто, зміна енергії в об'ємі може відбуватися лише за рахунок роботи виконаної над частинками. 2) Якщо в об'ємі нема речовини, тобто j=0 то $\frac{\partial}{\partial t} \int \omega dV = -\int \vec{S} \cdot d\vec{\sigma}$, тобто зміна густини енергії в об'ємі відбувається лише за рахунок потоку її через обмежуючу поверхню.</p>															
<p>21. Рівняння для електромагнітних потенціалів (рівняння д'Аламбера) (Yogeniy).</p> <p>Розглянемо рівняння Максвелла у 4-вимірному вигляді: $F^{kl} = \frac{4\pi}{c} j^k j^l$, виразивши величину F через векторні потенціали підставимо отриманий вираз $F^{kl} = A^{ik} - A^{kj}$ у рівняння Максвелла, в результаті отримуємо $A^{ik} j^k - A^{kj} j^k = \frac{4\pi}{c} j^k$, або</p> <p>$\frac{\partial}{\partial x^l} \left(\frac{\partial A^k}{\partial x^l} \right) - \frac{\partial}{\partial x^l} \left(\frac{\partial A^k}{\partial x^l} \right) = \frac{4\pi}{c} j^k$, переставивши місцями мішані похідні отримуємо $\frac{\partial}{\partial x^k} \left(\frac{\partial A^k}{\partial x^l} \right) - \frac{\partial^2}{\partial x^l \partial x^k} A^k = \frac{4\pi}{c} j^k$ (1).</p>	<p>Величина $\frac{\partial A^i}{\partial x^i}$ - це 4-дивергенція, яка згідно умови Лоренца має бути рівна 0, розписавши вираз для -дивергенції наступним чином отримуємо $\frac{\partial A^i}{\partial x^i} = \nabla^2 A + \frac{1}{c} \frac{\partial \rho}{\partial t} = 0$ - це так звана калібровка Лоренца. Скориставшись нею перепишемо вираз (1) у тривимірній формі наступним чином $\Delta \vec{A} - \frac{1}{c} \frac{\partial^2 \vec{A}}{\partial t^2} = -\frac{4\pi}{c} \vec{j}$, в 4-вимірному вигляді воно записується наступним чином $\square A^i = -4\pi j^i/c$ (2), де оператор $\square = \Delta - 1/c^2 \partial^2/\partial t^2$ має назву оператор д'Аламбера, а рівняння (2) називається рівнянням для 4-потенціалу. Запишемо тепер рівняння д'Аламбера (хвильові рівняння), їх 2: $\square A = -4\pi j/c$ та $\square \phi = -4\pi \rho/c$ (жирним шрифтом позначено векторні величини). Таким чином, замість системи 4-ох рівнянь Максвелла можна використовувати 2 рівняння д'Аламбера, ці рівняння незалежні та мають певні загальні розв'язки.</p> <p>Рівняння д'Аламбера Запишемо рівняння, які задовольняють потенціали (1) та (3). Підставимо їх в рівняння (2), врахувавши, що</p>															
<p>21. Рівняння для електромагнітних потенціалів (рівняння д'Аламбера). (Tauris)</p> <p>Система диференціальних рівнянь Максвелла для статичних полів: $\text{div} \vec{B} = 0$ $\text{rot} \vec{E} = 0$ $\text{div} \vec{E} = 4\pi \rho$ $\text{rot} \vec{B} = \frac{4\pi}{c} \vec{j}$.</p> <p>Розглянемо векторний та скалярний потенціал для статичного випадку. Векторний потенціал: розглянемо перше рівняння Максвелла $\text{div} \vec{B} = 0$ з цього рівняння випливає, що $\vec{B} = \text{rot} \vec{A}$ (1) ($\text{div} \vec{B} = \text{div}(\text{rot} \vec{A}) = 0$), де величина A має назву векторного потенціалу, і являє собою деяке векторне поле, яке при заданій залежності густини струмів від координат обчислюється за формулою: $A(\vec{r}) = \frac{1}{c} \int \frac{j(\vec{r}')}{ \vec{r} - \vec{r}' } dV'$. Фізичний зміст - векторний потенціал є реальною фізичною характеристикою електромагнітного поля. Скалярний потенціал: запишемо друге рівняння Максвелла для стат. полів: $\text{rot} \vec{E} = 0$, очевидно що це рівняння має розв'язок $\vec{E} = -\text{grad} \phi$ ($\text{div}(\text{grad} \phi) = 0$), явний вигляд для φ, що має назву скалярний потенціал: $\phi(\vec{r}) = \int \frac{\rho(\vec{r}') dV'}{ \vec{r} - \vec{r}' }$. Фізичний зміст - це робота по перенесенню одиничного заряду з нескінченності в точку спостереження. Поняття скалярного та векторного потенціалів, які щойно розглянули для статичних задач, можуть бути узагальнені і для динамічних задач. Система рівнянь Максвелла для вакууму:</p> <p>$\text{div} \vec{B} = 0$ $\text{rot} \vec{E} = -\frac{1}{c} \frac{\partial \vec{B}}{\partial t}$ $\text{div} \vec{E} = 4\pi \rho$ $\text{rot} \vec{B} = \frac{4\pi}{c} \vec{j} + \frac{1}{c} \frac{\partial \vec{E}}{\partial t}$ (2). Як і в статичному випадку розв'язок першого рівняння Максвелла буде: $\vec{B} = \text{rot} \vec{A}$. Підставимо одержаний вираз у рівняння $\text{rot} \vec{E} = -\frac{1}{c} \frac{\partial \vec{B}}{\partial t}$, і виконаємо нескладні перетворення.</p> <p>$(\text{rot} \vec{E} + \frac{1}{c} \frac{\partial (\text{rot} \vec{A})}{\partial t}) = 0 \Rightarrow \text{rot} \left(\vec{E} + \frac{1}{c} \frac{\partial \vec{A}}{\partial t} \right) = 0$. Це рівняння має розв'язок $\vec{E} = -\text{grad} \phi - \frac{1}{c} \frac{\partial \vec{A}}{\partial t}$ (3), (знак перед градієнтом вибираємо так, щоб силі лінії були спрямовані від додатного заряду до від'ємного).</p>	<p>$\text{rot}(\text{rot} \vec{A}) = \text{grad}(\text{div} \vec{A}) - \Delta \vec{A}$, отримуємо $\Delta \vec{A} - \frac{1}{c^2} \frac{\partial^2 \vec{A}}{\partial t^2} - \text{grad} \left(\text{div} \vec{A} + \frac{1}{c} \frac{\partial \phi}{\partial t} \right) = \frac{4\pi}{c} \vec{j}$, та наклали лоренцеву калібровку $(\text{div} \vec{A} + \frac{1}{c} \frac{\partial \phi}{\partial t} = 0)$ матимемо: $\Delta \vec{A} - \frac{1}{c^2} \frac{\partial^2 \vec{A}}{\partial t^2} = \frac{4\pi}{c} \vec{j}$, Позначимо $\# = \Delta - \frac{1}{c^2} \frac{\partial^2}{\partial t^2}$, де # - квадратичний оператор використовується для позначення оператора д'Аламбера. А відповідно рівняння $\# \vec{A} = -\frac{4\pi}{c} \vec{j}$, називається рівнянням д'Аламбера. Також можна вивести друге рівняння підставивши рівняння (3) в рівняння $\text{div} \vec{E} = 4\pi \rho$, отримуємо</p> <p>$-\Delta \phi - \frac{1}{c} \frac{\partial}{\partial t} \text{div} \vec{A} = \frac{4\pi}{c} \rho$, та з урахуванням Лоренцевої калібровки отримуємо $\Delta \phi - \frac{1}{c^2} \frac{\partial^2 \phi}{\partial t^2} = \frac{4\pi}{c} \rho$, яке можна записати у вигляді: $\# \phi = -4\pi \rho$ і також назвати рівнянням д'Аламбера.</p> <table border="1"> <thead> <tr> <th>Формула</th> <th>Статичний випадок</th> <th>Динамічний випадок</th> </tr> </thead> <tbody> <tr> <td>Вираз для магнітної індукції через векторний потенціал</td> <td>$\vec{B} = \text{rot} \vec{A}$</td> <td>$\vec{B} = \text{rot} \vec{A}$</td> </tr> <tr> <td>Вираз для електричного поля через скалярний потенціал</td> <td>$\vec{E} = -\text{grad} \phi$</td> <td>$\vec{E} = -\text{grad} \phi - \frac{1}{c} \frac{\partial \vec{A}}{\partial t}$</td> </tr> <tr> <td>Рівняння для скалярного потенціалу</td> <td>$\Delta \phi = -4\pi \rho$</td> <td>$\# \phi = -4\pi \rho$</td> </tr> <tr> <td>Рівняння для векторного потенціалу</td> <td>$\Delta \vec{A} = -\frac{4\pi}{c} \vec{j}$</td> <td>$\# \vec{A} = -\frac{4\pi}{c} \vec{j}$</td> </tr> </tbody> </table>	Формула	Статичний випадок	Динамічний випадок	Вираз для магнітної індукції через векторний потенціал	$\vec{B} = \text{rot} \vec{A}$	$\vec{B} = \text{rot} \vec{A}$	Вираз для електричного поля через скалярний потенціал	$\vec{E} = -\text{grad} \phi$	$\vec{E} = -\text{grad} \phi - \frac{1}{c} \frac{\partial \vec{A}}{\partial t}$	Рівняння для скалярного потенціалу	$\Delta \phi = -4\pi \rho$	$\# \phi = -4\pi \rho$	Рівняння для векторного потенціалу	$\Delta \vec{A} = -\frac{4\pi}{c} \vec{j}$	$\# \vec{A} = -\frac{4\pi}{c} \vec{j}$
Формула	Статичний випадок	Динамічний випадок														
Вираз для магнітної індукції через векторний потенціал	$\vec{B} = \text{rot} \vec{A}$	$\vec{B} = \text{rot} \vec{A}$														
Вираз для електричного поля через скалярний потенціал	$\vec{E} = -\text{grad} \phi$	$\vec{E} = -\text{grad} \phi - \frac{1}{c} \frac{\partial \vec{A}}{\partial t}$														
Рівняння для скалярного потенціалу	$\Delta \phi = -4\pi \rho$	$\# \phi = -4\pi \rho$														
Рівняння для векторного потенціалу	$\Delta \vec{A} = -\frac{4\pi}{c} \vec{j}$	$\# \vec{A} = -\frac{4\pi}{c} \vec{j}$														
<p>22. Стале електричне поле. Рівняння Лапласа та Пуассона та їх загальний розв'язок. (Tauris)</p> <p>При сталому електричному полі всі похідні за часом дорівнюють нулю ($\frac{\partial}{\partial t} = 0$). Отже система рівнянь Максвелла приймає вигляд:</p> <p>$\text{div} \vec{B} = 0$, $\text{rot} \vec{B} = \frac{4\pi}{c} \vec{j}$, $\vec{E}(\vec{r}, t) = -\frac{\vec{\nabla}(\vec{\nabla} \cdot \vec{r}) - \vec{r}}{c^2}$, $\text{div} \vec{E} = 4\pi \rho$. Це тепер є дві незалежні системи для електричного та магнітного поля. Отже для сталого електричного поля нам досить розглянути тільки два рівняння: $\vec{E}(\vec{r}, t) = -\frac{\vec{\nabla}(\vec{\nabla} \cdot \vec{r}) - \vec{r}}{c^2}$, $\text{div} \vec{E} = 4\pi \rho$. До речі $\vec{E}(\vec{r}, t) = -\frac{\vec{\nabla}(\vec{\nabla} \cdot \vec{r}) - \vec{r}}{c^2}$, вказує на безвихровий характер сталого електричного поля. Це рівняння задовольняється, якщо вектор E, буде представляти собою $\vec{E} = -\text{grad} \phi$, де φ - електростатичний потенціал. (розписано в шпори 21). Оскільки ротор від довільного градієнта тотожно дорівнює нулеві, то підставляючи цей вираз у рівняння $\text{div} \vec{E} = 4\pi \rho$, отримуємо рівняння: $\Delta \phi = -4\pi \rho$, яке називається рівнянням Пуассона. Там де немає зарядів рівняння Пуассона перетворюється на рівняння Лапласа: $\Delta \phi = 0$, з цього рівняння ми бачимо, що потенціал електричного поля ніде не може мати ні максимуму, ні мінімуму. Тому, що для того щоб φ приймало екстремальне значення, необхідно щоб всі перші похідні від φ по координатам дорівнювали нулю, а другі похідні $\frac{\partial^2 \phi}{\partial x^2}$, $\frac{\partial^2 \phi}{\partial y^2}$, $\frac{\partial^2 \phi}{\partial z^2}$ мали однаковий знак. Останнє просто неможливо, так як при цьому не задовольняється рівняння Лапласа. Звернемо увагу, що коли заряди задано, розв'язок рівняння Пуассона має вигляд:</p> <p>$\phi(\vec{r}) = \int \frac{\rho(\vec{r}') dV'}{ \vec{r} - \vec{r}' }$, доведемо це:</p>	<p>$\Delta \phi = \Delta \int \frac{\rho(\vec{r}') dV'}{ \vec{r} - \vec{r}' } = \int \rho(\vec{r}') \Delta \frac{1}{ \vec{r} - \vec{r}' } dV' = -4\pi \int \rho(\vec{r}') \delta(\vec{r} - \vec{r}') dV' = -4\pi \rho(\vec{r})$.</p> <p>Закон Кулона. Визначимо поле створене точковим зарядом. З уявленн про симетрію ясно, що воно буде направлено в кожній точці по радіусу, проведеному з точки, в якій знаходиться заряд e. З тих самих роздумів ясно, що абсолютна величина E поля буде залежати тільки від відстані R до заряду. Для знаходження цієї абсолютної величини використаємо рівняння $\text{div} \vec{E} = 4\pi \rho$, тільки запишемо його в інтегральній формі: $\int \text{div} \vec{E} dV = \int \rho dV$, таким чином потік електричного поля через замкнену поверхню дорівнює повному заряду, що знаходиться в нашому об'ємі, помноженому на 4π. Тобто потік електричного поля через шарову поверхню с радіусом R, проведеної навколо заряду e, дорівнює $4\pi R^2 E$, і цей потік повинен бути рівний 4πε. Звідси маємо $E = \frac{e}{R^2}$. У векторному вигляді $\vec{E} = \frac{e \vec{R}}{R^3}$. Таким чином, поле створюване точковим зарядом, обернено пропорційне квадрату відстані до цього заряду. Це є закон Кулона. Потенціал цього поля: $\phi = \frac{e}{R}$. Якщо ми маємо систему зарядів, то створюване нею поле, згідно принципу суперпозиції, дорівнює сумі полів, створених кожним зарядом окремо. В частоті потенціал такого поля дорівнює: $\phi = \sum_a \frac{e_a}{R_a}$, де R_a - відстань від заряду e_a до точки в якій ми шукаємо потенціал.</p>															

<p>34. Електричне та магнітне поле точкового заряду, що рухається довільним чином. (Stalker)</p> <p>Поле точкового заряду</p> <p>Для обчислення поля точкового заряду за формулами (1): слід диференціювати за часом спостереження t у момент часу t, однак вирази для потенціалу Льєнар-Віхерта (див. Блет №33) залежать явним чином лише від t'. У зв'язку з цим при диференціюванні за часовими та просторовими змінними у формулах (1) необхідно враховувати залежність t' від t (як похідну від складної функції). Обчислимо перш за все значення похідних $\frac{\partial t'}{\partial t}$ та $\frac{\partial \mathbf{r}'}{\partial t}$. Для цього продиференціюємо рівність $R(t') = c(t - t')$ по t:</p> $\frac{\partial R}{\partial t} = \frac{\partial R}{\partial t'} \cdot \frac{\partial t'}{\partial t} = -\frac{R}{c} \cdot \frac{\partial t'}{\partial t} = -\frac{R}{c} \cdot \frac{\partial t'}{\partial t}$ <p>де $dR/dt' = -R'/R$. Отже, можемо записати похідну у вигляді</p> $\frac{\partial t'}{\partial t} = \frac{R}{c \cdot R'}$ <p>Ціком аналогічно, обчислюючи градієнт від виразу $R(t') = c(t - t')$, матимемо</p> $\frac{\partial R}{\partial \mathbf{r}} = -\frac{\mathbf{r}}{R}$ <p>Таим чином, ми знайшли правила диференціювання у виразах (1):</p> <p>В останньому виразі за grad, позначено градієнт у деякій точці простору в момент часу t. $\frac{\partial}{\partial t} = \frac{R}{c} \cdot \frac{\partial}{\partial t'}$, $\text{grad}_t = \text{grad}_{t'} - \frac{\mathbf{r}}{c} \cdot \frac{\partial}{\partial t'}$.</p> <p>Перейдемо тепер до обчислення поля. Використовуючи отримані правила диференціювання, для градієнта скалярного потенціалу маємо</p> $\text{grad} \left(\frac{1}{R} \right) = -\frac{\mathbf{r}}{R^2}$	<p>Диференціювання явного виразу для \mathbf{A} з приводить до таких формул (6.25)</p> $\frac{\partial \mathbf{A}}{\partial t} = \frac{1}{c} \frac{\partial \mathbf{v}}{\partial t} + \frac{1}{c} \frac{\partial \mathbf{v}}{\partial t'}$ <p>Враховуючи ці співвідношення, можемо записати вираз:</p> $\text{grad} \phi = -\frac{1}{c} \frac{\partial \mathbf{v}}{\partial t} - \frac{1}{c} \frac{\partial \mathbf{v}}{\partial t'}$ <p>Обчислимо також похідну $\frac{\partial \mathbf{A}}{\partial t}$:</p> $\frac{\partial \mathbf{A}}{\partial t} = \frac{1}{c} \frac{\partial \mathbf{v}}{\partial t} + \frac{1}{c} \frac{\partial \mathbf{v}}{\partial t'}$ <p>Далі, користуючись виразом (1), після нескладних перетворень обчислимо вираз для електричного поля:</p> $\mathbf{E} = \frac{1}{4\pi\epsilon_0} \frac{q}{R^2} \left[\left(n - \frac{\mathbf{v}}{c} \right) + \frac{1}{c^2} \left[\mathbf{r} \times \left[\left(n - \frac{\mathbf{v}}{c} \right) \times \mathbf{v} \right] \right] \right] \quad (2)$ <p>При обчисленні (6.28) враховано очевидне співвідношення</p> $\mathbf{r} \times \left[\left(n - \frac{\mathbf{v}}{c} \right) \times \mathbf{v} \right] = \mathbf{r} \times \mathbf{v} \times \mathbf{v}$ <p>Відповідні перетворення приводять до</p> <p>Ці вирази є точні значення поля, які створюються при русі однієї частинки у вакуумі, якщо її швидкість змінюється довільно. Простий аналіз цих виразів дозволяє зробити три важливі висновки для нього випадку:</p> <ol style="list-style-type: none"> 1. При рівномірному прямолинійному русі зарядженої частинки другий доданок у (2) дорівнює нулю. Саме він обумовлює гальмівне випромінювання, тому дорівнюють нулю поле і енергія випромінювання. 2. Хоча перший доданок (2) при $v = 0$ не зникає, однак внеску в поле випромінювання він не дає. <p>Для частинки, що рухається з поздовжнім (змінюється величина швидкості) або поперечним (змінюється напрям швидкості) прискоренням, буде спостерігатися гальмівне випромінювання обумовлене другим доданком у (2).</p>
<p>35. Електромагнітне поле точкового заряду, що рівномірно рухається. (Stalker)</p> $\mathbf{E} = \frac{q}{4\pi\epsilon_0} \frac{1}{R^2} \left(n - \frac{\mathbf{v}}{c} \right) + \frac{q}{4\pi\epsilon_0} \frac{1}{R^3} \left[\mathbf{r} \times \left[\left(n - \frac{\mathbf{v}}{c} \right) \times \mathbf{v} \right] \right] \quad (1)$ <p>Ці два рівняння описують поле заряду, що рухається довільним чином. Для того щоб відповісти на питання білету розберемося для початку, що собою представляють обидва доданки в першій формулі.</p> <p>Перший доданок залежить лише від швидкості частинки і на великій відстані від системи змінюється як $1/R^2$ (це досить легко побачити в нерелятивістському наближенні $v \ll c$). Тобто, у хвильовій зоні напруженості електричного та магнітного полів пропорційні $1/R^2$. Це означає, що абсолютна величина вектора Умова-Пойнтинга буде пропорційна $1/R^4$. Але згідно з означенням абсолютна величина цього вектора дорівнює кількості енергії, яка шосекуди проходить через одиницю поверхні (потік енергії). Помноживши його на елемент поверхні $R^2 d\Omega$ та проінтегрувавши за повним тілесним кутом $\Omega = 4\pi$, одержимо кількість енергії, яка шосекуди проходить через сферу радіуса R. Узявши до уваги наведені оцінки для полів, неважко збанути, що ця величина буде пропорційна до $1/R^2$. Тобто, чим більшого радіуса сферу ми візьмемо, тим меншим буде загальне значення енергії, яка через неї пройшла. Ці суперечливі загальноприйнятому уявленню про випромінювання, тому необхідно зробити висновок, що перший доданок у формулі (1), який представляє собою поле заряду при рівномірному і прямолинійному русі, внеску в поле випромінювання не дає.</p>	<p>Більше того, якщо записати перший доданок у наближенні малих швидкостей руху, то в ньому неважко впізнати кулонівське поле частинки.</p> <p>Для другого доданку (1) напруженості електричного та магнітного полів у хвильовій зоні змінюються як $1/R$, тому абсолютна величина вектора Умова — Пойнтинга пропорційна $1/R^2$. Після інтегрування за повним тілесним кутом одержимо значення енергії, яка шосекуди перетинає поверхню радіуса R, пропорційне $1/R^2$. Тому для сфери довільного радіуса ця величина буде сталою: кількість енергії, яка шосекуди випромінюється джерелом, проходить через поверхню довільного радіуса R. Отже другий доданок відповідає за поле випромінювання.</p> <p>Зроблені нами висновки стосуються випадку руху у вакуумі. Ситуація змінюється, якщо частинка рухається в суцільному середовищі. В цьому випадку частинка може випромінювати електромагнітні хвилі навіть, якщо її швидкість постійна. Отже остаточно відповіли на питання можна сформулювати так:</p> <p>Заряджена частинка при рівномірному і прямолинійному русі у вакуумі не випромінює електромагнітні хвилі і її загальне поле описується тільки першим доданком виразу (1). Якщо ж частинка рухається рівномірно, але не прямолинійно (тобто з прискоренням), то її поле складається як з кулонівського поля (перший доданок) так і з поля випромінювання (другий доданок).</p>
<p>36. Випромінювання електромагнітних хвиль точковим зарядом. Хвильова зона. Кутівий розподіл випромінювання. (Stalker)</p> <p>На більших відстаннях от частини (в волнової зоні) вираження для напруженості поля упрощаються; остається тільки волнове поле:</p> $\mathbf{E} = \frac{en \times [(n - v/c) \times \dot{\mathbf{v}}]}{c^2 R (1 - nv/c)^3} \Big _t, \quad \mathbf{H} = n \times \mathbf{E}$ <p>Вичислим потік енергії всередині телесного угла $d\Omega$ на більших відстаннях от частини:</p> $dI = \dot{\gamma} n R^2 d\Omega = \frac{c}{4\pi} E^2 R^2 d\Omega$ <p>или подставляя вираження для E</p> $\frac{dI}{d\Omega} = \frac{e^2 [n \times [(n - v/c) \times \dot{\mathbf{v}}]]^2}{4\pi c^3 (1 - nv/c)^6}$ <p>где величины в правой части берутся в запаздывающий момент t'. Проведем анализ углового распределения излучения для некоторых частных случаев:</p> <ol style="list-style-type: none"> 1. Нерелятивистская частица, $v \ll c$. Пренебрегая членами порядка v/c, получим $\frac{dI}{d\Omega} = \frac{e^2}{4\pi c^3} [\dot{\mathbf{v}}^2 - (n \cdot \dot{\mathbf{v}})^2] = \frac{e^2 \dot{\mathbf{v}}^2}{4\pi c^3} \sin^2 \theta$ <p>где θ – угол между ускорением (в запаздывающий момент t') и направлением наблюдения. Излучение распределено симметрично относительно направления $\dot{\mathbf{v}}$ и максимально в направлении, перпендикулярном $\dot{\mathbf{v}}$.</p> <ol style="list-style-type: none"> 2. Ультррелятивистская частица, $v = (1 - v^2/c^2)^{-1/2} \gg 1$, ускорение направлено вдоль скорости: $\dot{\mathbf{v}} \parallel v$. Обозначая через θ угол между n и v, получаем $\frac{dI}{d\Omega} = \frac{e^2 \dot{\mathbf{v}}^2 \sin^2 \theta}{4\pi c^3 [1 - (v/c) \cos \theta]^6}$	<p>Высокая степень знаменателя, весьма малого при $\cos \theta \approx 1$, приводит к тому, что почти всё излучение сосредоточено в области малых θ (хотя при $\theta = 0$ интенсивность обращается в нуль). В наиболее интересной области малых углов произведем разложения $\sin \theta \approx \theta^2$, $\cos \theta \approx 1 - \theta^2/2$. Учитывая, что $\dot{\mathbf{v}} \approx c$, получим</p> $\frac{dI}{d\Omega} = \frac{16e^2 \dot{\mathbf{v}}^2 (v/c)^2 (\theta)^2}{\pi c^3 [1 + \gamma^2 \theta^2]^6}$ <p>Излучение сосредоточено в конусе с углом раствора порядка нескольких $1/\gamma$.</p> <ol style="list-style-type: none"> 3. Ультррелятивистская частица, ускорение перпендикулярно скорости: $\dot{\mathbf{v}} \perp v$. $\frac{dI}{d\Omega} = \frac{e^2}{4\pi c^3} \left\{ \frac{\dot{\mathbf{v}}^2}{(1 - nv/c)^4} - \frac{(1 - v^2/c^2)(n \cdot \dot{\mathbf{v}})^2}{(1 - n \cdot v/c)^6} \right\}$ <p>которая после введения угла θ между n и v записываем в виде</p> $\frac{dI}{d\Omega} = \frac{e^2}{4\pi c^3} \left\{ \frac{1}{(1 - (v/c) \cos \theta)^4} - \frac{(1 - v^2/c^2) \sin^2 \theta \cos^2 \phi}{(1 - (v/c) \cos \theta)^6} \right\}$ <p>Здесь ϕ – угол между плоскостями (v, n) и $(v, \dot{\mathbf{v}})$. Распределение сконцентрировано в направлении вперед. При малых θ оно имеет вид</p> $\frac{dI}{d\Omega} = \frac{4e^2 \dot{\mathbf{v}}^2 \gamma^8}{\pi c^3 (1 + \gamma^2 \theta^2)^4} \left[1 - \frac{4\gamma^2 \theta^2 \cos^2 \phi}{(1 + \gamma^2 \theta^2)^2} \right]$ <p>Выражение в скобках, как и должно быть, неотрицательно ни при каких значениях углов.</p>
<p>37. Випромінювання точкового заряду, що рухається прямолинійно. Формула Лармора. Діаграма направленості. (Stalker)</p> <p>На більших відстаннях от частини (в волнової зоні) вираження для напруженості поля упрощаються; остається тільки волнове поле:</p> $\mathbf{E} = \frac{en \times [(n - v/c) \times \dot{\mathbf{v}}]}{c^2 R (1 - nv/c)^3} \Big _t, \quad \mathbf{H} = n \times \mathbf{E}$ <p>Вичислим потік енергії всередині телесного угла $d\Omega$ на більших відстаннях от частини:</p> $dI = \dot{\gamma} n R^2 d\Omega = \frac{c}{4\pi} E^2 R^2 d\Omega$ <p>или подставляя вираження для E</p> $\frac{dI}{d\Omega} = \frac{e^2 [n \times [(n - v/c) \times \dot{\mathbf{v}}]]^2}{4\pi c^3 (1 - nv/c)^6}$ <p>где величины в правой части берутся в запаздывающий момент t'. Проведем анализ углового распределения излучения для некоторых частных случаев при прямолинейном движении частицы.</p> <ol style="list-style-type: none"> 1. Нерелятивистская частица, $v \ll c$. Пренебрегая членами порядка v/c, получим $\frac{dI}{d\Omega} = \frac{e^2}{4\pi c^3} [\dot{\mathbf{v}}^2 - (n \cdot \dot{\mathbf{v}})^2] = \frac{e^2 \dot{\mathbf{v}}^2}{4\pi c^3} \sin^2 \theta \quad (1)$ <p>где θ – угол между ускорением (в запаздывающий момент t') и направлением наблюдения. Излучение распределено симметрично относительно направления $\dot{\mathbf{v}}$ и максимально в направлении, перпендикулярном $\dot{\mathbf{v}}$.</p>  <p style="text-align: center;">Діаграма направленості для нерелятивістського руху.</p>	<ol style="list-style-type: none"> 2. Ультррелятивистская частица, $v = (1 - v^2/c^2)^{-1/2} \gg 1$, ускорение направлено вдоль скорости: $\dot{\mathbf{v}} \parallel v$. Обозначая через θ угол между n и v, получаем $\frac{dI}{d\Omega} = \frac{e^2 \dot{\mathbf{v}}^2 \sin^2 \theta}{4\pi c^3 [1 - (v/c) \cos \theta]^6}$ <p>Высокая степень знаменателя, весьма малого при $\cos \theta \approx 1$, приводит к тому, что почти всё излучение сосредоточено в области малых θ (хотя при $\theta = 0$ интенсивность обращается в нуль). В наиболее интересной области малых углов произведем разложения $\sin \theta \approx \theta^2$, $\cos \theta \approx 1 - \theta^2/2$. Учитывая, что $\dot{\mathbf{v}} \approx c$, получим</p> $\frac{dI}{d\Omega} = \frac{16e^2 \dot{\mathbf{v}}^2 (v/c)^2 (\theta)^2}{\pi c^3 [1 + \gamma^2 \theta^2]^6}$ <p>Излучение сосредоточено в конусе с углом раствора порядка нескольких $1/\gamma$. Ниже подано диаграму направленості випромінювання для цього випадку.</p>  <p>Якщо проінтегрувати вираз (1) по тілесному куту, то отримаємо формулу Лармора:</p> $-dE / dt' = 2e^2 a^2(t) / 3c^3$ <p>де a – прискорення в такій с-мі відліку, в якій $v \ll c$.</p>
<p>38. Циклотронне та синхротронне випромінювання точкового заряду. Діаграма направленості. (Stalker)</p> <p>???</p>	

<p>78. Співвідношення Крамерса-Кронінга (Flufty)</p> <p>Діелектрична проникливість – Ф-я відгуку $\epsilon(t)$ та поляризація $\chi(t)$ є дійсними Ф-ми. А от $\epsilon^*(\omega) = \int_{-\infty}^{+\infty} \epsilon(t) e^{i\omega t} dt$ (1) вже комплексна величина. Тоді запишемо (1) так $\epsilon^*(\omega) = \epsilon'(\omega) + i\epsilon''(\omega)$ (2) Члени ϵ' та ϵ'' являють собою</p> $\begin{cases} \epsilon'(\omega) = \int_{-\infty}^{+\infty} f(t) \cos(\omega t) dt - \text{рефракція} \\ \epsilon''(\omega) = \int_{-\infty}^{+\infty} f(t) \sin(\omega t) dt - \text{поглинання} \end{cases} \quad (3) \text{ Ф-ї } \epsilon' \text{ та } \epsilon'' \text{ мають бути пов'язані між собою.}$ <p>Запишемо розклад $\epsilon(\omega)$ по ω^*: $\epsilon(\omega) = 1 + 4\pi \int_0^{\infty} \chi(\tau) e^{i\omega\tau} e^{-\omega\tau} d\tau$ (4). Ф-я χ має таку властивість, що коли $\tau > 0, \chi < 0$. Запишемо (4) в статистичному випадку: $\epsilon_0 = 1 + 4\pi \int_0^{\infty} \chi(\tau) d\tau$ (5).</p>	 <p>Розглянемо інтеграл $L = \int_L \frac{\epsilon^*(\omega_1) - 1}{\omega_1 - \omega} d\omega_1$ (6) по деякому замкненому контуру L. Розіб'ємо даний інтеграл на частини $L = \int_{-\infty}^{\omega} \frac{\epsilon^*(\omega_1) - 1}{\omega_1 - \omega} d\omega_1 + \int_{\omega}^{\infty} \frac{\epsilon^*(\omega_1) - 1}{\omega_1 - \omega} d\omega_1 + i\pi = 0$ (7), де $i\pi =$</p> <p>інтеграл по замкненому півколу. Зробимо такі позначення $P \int_{-\infty}^{+\infty} \frac{\epsilon^*(\omega_1) - 1}{\omega_1 - \omega} d\omega_1 + \frac{1}{2} i\pi = 0$ (8), P – головне значення. Тоді</p> $L_{27} = \int_{-\infty}^{+\infty} \frac{\epsilon^*(\omega_1) - 1}{\omega_1 - \omega} d\omega_1 = -2\pi i [\epsilon(\omega) - 1] \quad (9) \text{ знак „-“ випливає внаслідок вибору напрямку. Тоді можна записати}$ $P \int_{-\infty}^{+\infty} \frac{\epsilon^*(\omega_1) - 1}{\omega_1 - \omega} d\omega_1 = \pi [\epsilon(\omega) - 1] \quad (10), \text{ отже}$ $\epsilon^*(\omega) = \frac{i}{\pi} P \int_{-\infty}^{+\infty} \frac{\epsilon''(\omega_1)}{\omega_1 - \omega} d\omega_1 \quad (11) \text{ Отримані вирази (вирази 11) і є}$ <p>співвідношеннями Крамерса-Кронінга.</p>
<p>79. Ефект Гуса-Хенхена. Повне внутрішнє відбивання (Dell)</p> <p>80. Укорочені рівняння. Солітони (Dell)</p> $\nabla(\vec{E}) \quad \text{rot}(\text{rot}\vec{E}) + \frac{1}{c^2} \frac{\partial^2 \vec{D}}{\partial t^2} = 0 \quad (1)$ $\vec{j} = 0 \quad \text{rot}(\text{rot}\vec{F}) = \text{grad}(\text{div}\vec{F}) - \Delta\vec{F} \quad (2) \quad (\text{grad}\text{div}\vec{F}) \sim 0 \text{ поле буде поперечним, лише наближено}$ <p>Звичай середовище слабо нелінійне. Розглянемо такі нелінійні процеси, де частоти не змінюються.</p> $ \Delta z_0 \gg \lambda \quad (4)$ $\vec{E}(\vec{r}, t) = A(\vec{r}, t) e^{i(k_z z - \omega t)} \quad (5)$ $(5) \Rightarrow (3): \left(\frac{\partial^2 \vec{A}}{\partial x^2} + \frac{\partial^2 \vec{A}}{\partial y^2} + \frac{\partial^2 \vec{A}}{\partial z^2} + 2ik_z \frac{\partial \vec{A}}{\partial z} - k_z^2 \right) e^{i(k_z z - \omega t)} + \left(\frac{\omega}{c} \right)^2 D(\vec{E}) = 0 \quad (6)$ <p>Оскільки нелінійність слабка, то нехай $\vec{D} = (\epsilon_0 + \Delta\epsilon(\vec{r}, t, \vec{E})) \cdot \vec{E}$ (7)</p> $(\Delta_{\perp} \vec{E} + \frac{\partial^2 \vec{A}}{\partial z^2} + 2ik_z \frac{\partial \vec{A}}{\partial z} - k_z^2) + \left(\frac{\omega}{c} \right)^2 (\epsilon_0 + \Delta\epsilon) \vec{A} = 0 \quad \Delta_{\perp} - \text{поперечний Лаплас}$ <p>Щоб спростити рівняння:</p> $k_z^2 = \left(\frac{\omega}{c} \right)^2 \epsilon_0 \quad (8) \quad \left \frac{\partial^2 \vec{A}}{\partial z^2} \right \sim \left \frac{\partial \vec{A}}{\Delta z} \right \quad (*) \quad \left 2ik_z \frac{\partial \vec{A}}{\partial z} \right \sim 2 \frac{2\pi\omega}{\lambda} \left \frac{\partial \vec{A}}{\Delta z} \right \quad (**)$	$\frac{(*)}{(**)} = \frac{\lambda}{4\pi\omega z_0} \ll 1 \quad (10) \quad n_0 = \sqrt{\epsilon_0}$ <p>Отже $\Delta_{\perp} \vec{A} + 2ik_z \frac{\partial \vec{A}}{\partial z} + \left(\frac{\omega}{c} \right)^2 \Delta\epsilon(\vec{E}) \vec{A} = 0$ (11)</p> <p>Керовська нелінійність: $\Delta\epsilon = \chi_2 \vec{A} ^2$ (12)</p> $\vec{A} \neq \vec{A}(x, y) \text{ для плоских хвиль (відсутня поперечна залежність)}$ <p>нелінійне рівняння Шредингера: $i \frac{\partial \vec{U}}{\partial z} + \frac{\partial^2 \vec{U}}{\partial x^2} + 2 \vec{U} ^2 \vec{U} = 0$ (13) z – t</p> <p>Це рівняння має два типи розв'язків</p> <ol style="list-style-type: none"> $U(x, t) = \frac{\text{const exp}(i\phi_0)}{c t(x - vt)}$ (14) $\phi_0 = \phi_0(x, t)$ (Солітони (солітонні рішення)) <p>Солітон – поодинокa хвиля.</p> $ z(x) = \vec{A} ^2 = \frac{I_0}{c t(x - vt)^2}$ 
<p>81. Типи хвиль у хвильоводах (АКов+Тім)</p> <p>Структура ел поля</p> <p>Структура поля \vec{E} и \vec{H} различна. Вдоль z-бегущая волна $k = \beta \sin \phi$ – продольное волновое число. $H^2 + G^2 = \beta^2$ при любом ϕ. фазовая скорость E и H волн: $V_{\phi} = \omega / \beta = c / \sin \phi$; $V_{gr} = c \cos \phi$; $V_{ph} > c$ (их называют быстрыми волнами), продольная и поперечная волны: $\lambda_{\text{прод}} = 2\pi / \beta = 2\pi c / \omega \sin \phi$; $\lambda_{\text{попер}} = 2\pi / G = \lambda \cos \phi$. Волны типа Т (стоячие поперечные) существуют в полупрозрачном слое над идеально проводящей поверхностью $E(r, t) = E(x, y) e^{i(k_z z - \omega t)}$ $\Rightarrow E = 2E_0 \sin \phi \cos(\phi x) e^{i(k_z z - \omega t)}$ $\Rightarrow E = 2E_0 \sin \phi \cos(\phi x) e^{i(k_z z - \omega t)}$</p> $E = 2E_0 \sin \phi \cos(\phi x) e^{i(k_z z - \omega t)}$ $H = 2E_0 \sin \phi \sin(\phi x) e^{-i k_z z} e^{-i \omega t}$ $E(x, z, 0) = 2E_0 \sin(\phi x) \sin(\phi z)$ <p>Волны типа Н:</p> $H(x, z, 0) = -\frac{2E_0}{z_0} \sin \phi \sin(\phi x) \sin(\phi z) e^{-i \omega t} - \frac{2E_0}{z_0} \cos \phi \cos(\phi x) \cos(\phi z) e^{-i \omega t}$ <p>$H_x = 0, E_z = 0$.</p>	<p>Предоставим связь продольных и поперечных компонент поля, полученную из трехмерной записи уравнений Максвелла. Если $V(x, y, z) = V_0 e^{-i k_z z} e^{-i \omega t}$ $\text{rot} H = j \vec{E}$; $\text{rot} E = -j \omega \vec{H}$; $\frac{\partial H_x}{\partial y} - \frac{\partial H_y}{\partial x} = j \omega E_z$, расписываем ротор по компонентам</p> $E_x = -j / g^2 (h \frac{\partial E_z}{\partial x} + \omega \mu \frac{\partial H_y}{\partial y})$ $E_z = -j / g^2 (h \frac{\partial E_z}{\partial y} - \omega \mu \frac{\partial H_x}{\partial x})$ $H_x = j / g^2 (\omega \epsilon \frac{\partial E_z}{\partial y} - h \frac{\partial H_x}{\partial x})$ $H_y = -j / g^2 (\omega \epsilon \frac{\partial E_z}{\partial x} + h \frac{\partial H_y}{\partial y})$ <p>и все классно выводим:</p> $g = \sqrt{\beta^2 - h^2} = \sqrt{\omega^2 \epsilon \mu - h^2} \Rightarrow g^2 = (\omega / c)^2 - h^2$ <p>Для получения $E(x, y, z)$ используем уравнение Гельмгольца $\nabla^2 E_z + g^2 E_z = 0$, где $\nabla^2 = \frac{\partial^2}{\partial x^2} + \frac{\partial^2}{\partial y^2}$, $g = \sqrt{\beta^2 - h^2}$</p>
<p>82. ТЕ ТМ хвилі в прямокутному хвильоводі (АКов+Тім)</p> <p>Волны типа Е в прямоугольном волноводе</p> <p>гр. условие $E_z = 0$ на стенках $E_z = 0$ на $x=0, x=a$; $y=0, y=b$; Проекция E_x; $E_y = 0, x=0, x=a$; $E_z = 0$ if $y=0, y=b$.</p> $y=0: \frac{\partial E_x}{\partial x} = 0, y=0, y=b: \frac{\partial E_z}{\partial y} = 0, x=0, x=a \Rightarrow \text{краевая задача } \nabla^2 E_z + g^2 E_z = 0, x=0, x=a; E_z = 0 \text{ if } y=0, y=b.$ $E(x, y) = X(x)Y(y); X''/X = -g_x^2, Y''/Y = -g_y^2, g_x^2 + g_y^2 = g^2; E_z(x, y) = A \sin(g_x x) \cos(g_y y) \quad (\text{Casing, y cos g}_y \text{ y}). E_z = 0 \text{ (x=0, y=0)} \Rightarrow B=D=0 \Rightarrow$ $E_z(x, y) = E_0 \sin(g_x x) \sin(g_y y); \sin g_x a = 0, \sin g_y b = 0 \Rightarrow g_x = n\pi/a, g_y = m\pi/b \Rightarrow \text{решения существуют только при } g = \sqrt{(m\pi/a)^2 + (n\pi/b)^2} \cdot E_{nm}$ $E_{nm} = j \frac{h m \pi}{g^2 a} E_0 \cos\left(\frac{m\pi}{a} x\right) \sin\left(\frac{n\pi}{b} y\right) e^{-j h z}; E_{nm} = j \frac{h n \pi}{g^2 b} E_0 \cos\left(\frac{m\pi}{a} x\right) \cos\left(\frac{n\pi}{b} y\right) e^{-j h z};$ $E_x = E_0 \sin\left(\frac{m\pi}{a} x\right) \sin\left(\frac{n\pi}{b} y\right) e^{-j h z}; H_x = j \omega \mu \frac{n\pi}{g^2 b} E_0 \sin\left(\frac{m\pi}{a} x\right) \cos\left(\frac{n\pi}{b} y\right) e^{-j h z}; H_y =$ $j \omega \mu \frac{m\pi}{g^2 a} E_0 \cos\left(\frac{m\pi}{a} x\right) \cos\left(\frac{n\pi}{b} y\right) e^{-j h z}; H_z = 0; \text{длина волны в волноводе } \lambda_{\text{волнов}} = 2\pi / h.$ <p>Критическая длина волны</p> $h = \sqrt{\beta^2 - g^2}, \text{ если } \beta > g, \text{ то образуются бегущие волны постоянной амплитуды. } \beta = g \text{ -- критическая длина волны.}$ $\beta_{\text{critical}} = \frac{2\pi}{\lambda_{\text{critical}}} = g, \text{ если } \beta < g \text{ -- режим отсечки. } \lambda_{\text{cutoff}} = \frac{2\pi}{g} = \frac{2}{\sqrt{(m/a)^2 + (n/b)^2}} \text{ -- Дисперсионная характеристика.}$ $\lambda = \frac{\lambda_0}{\sqrt{1 - (\lambda_0 / \lambda_{\text{cutoff}})^2}} \text{ -- Коэффициент ослабления } f = \dots = c / \lambda_{\text{cutoff}} = c / 2\sqrt{(m/a)^2 + (n/b)^2} \Rightarrow \beta = \omega / c.$ $g = \sqrt{(m\pi/a)^2 + (n\pi/b)^2}, h = \pm j \sqrt{g^2 - \beta^2}.$	<p>Волны типа Н в прямоугольном волноводе</p> <p>H_z имеет составляющую H_z, в то время как $E_z = 0$ (электрическое поле поперечно).</p> $E_x = -\frac{j\omega\mu}{g^2} \frac{\partial H_z}{\partial y}, H_x = -\frac{j\omega\mu}{g^2} \frac{\partial H_z}{\partial x}, E_y = -\frac{j\omega\mu}{g^2} \frac{\partial H_z}{\partial x}, H_y = -\frac{j\omega\mu}{g^2} \frac{\partial H_z}{\partial y}, H(x, y, z) = H_0(x, y) e^{-j h z}, D^2 H_z + g^2 H_z = 0.$ <p>Граничные условия: $E_z = 0, y=0, y=b; E_y = 0, x=0, x=a, \Rightarrow \frac{\partial H_z}{\partial y} = 0, y=0, y=b, \frac{\partial H_z}{\partial x} = 0, x=0, x=a$. Критическая длина волны</p> $\lambda_{\text{cutoff}} = \frac{2\pi}{g} = \frac{2}{\sqrt{(m/a)^2 + (n/b)^2}}, V_{\phi} = \frac{c}{(1 - (\lambda_0 / \lambda_{\text{cutoff}})^2)^{1/2}}.$ $\begin{cases} E_x = j\omega\mu \frac{n\pi}{g^2 b} H_0 \cos\left(\frac{m\pi}{a} x\right) \sin\left(\frac{n\pi}{b} y\right) e^{-j h z} \\ E_y = j\omega\mu \frac{m\pi}{g^2 a} H_0 \sin\left(\frac{m\pi}{a} x\right) \cos\left(\frac{n\pi}{b} y\right) e^{-j h z} \\ E_z = 0 \\ H_x = j \frac{h m \pi}{g^2 a} H_0 \sin\left(\frac{m\pi}{a} x\right) \cos\left(\frac{n\pi}{b} y\right) e^{-j h z} \text{ волна типа } H_{10} \text{ -- критическая. Для справки: критическая длина волны определяется из} \\ H_y = j \frac{h n \pi}{g^2 b} H_0 \cos\left(\frac{m\pi}{a} x\right) \sin\left(\frac{n\pi}{b} y\right) e^{-j h z} \\ H_z = H_0 \cos\left(\frac{m\pi}{a} x\right) \cos\left(\frac{n\pi}{b} y\right) e^{-j h z} \end{cases}$ <p>минимальности значений индексов m, n, но при условии что все компоненты волны не обратятся в ноль или в константу (волна то должна существовать).</p> <p>Краткие характеристики волн в волноводах.</p> <p>ТМ – определяется требованием $H_z = 0$ все решения выражаются через E_z.</p> <p>ТЕ – $E_z = 0$... решение через H_z.</p> <p>ТЕМ – поперечная е.м волна $E_z = 0, H_z = 0$.</p> <p>Гибридная волна – когда $H_z \neq 0, E_z \neq 0$.</p>

<p>87. Добротність резонатора (АйКов+Тім) Добротність резонаторів</p> <p>Будем считать, что в момент времени $t=0$ источник возбуждения отключается, тогда $E(t) = E_0 e^{-t/\tau} \cos \omega t$. Как известно,</p> <p>$\tau = 2Q / \omega$. Пусть ω - начальное значение энергии в резонаторе при $t=0$. За первый период амплитуда уменьшится до уровня $E_0 \exp(-2\pi / (Q\tau)) = \exp(-\pi/Q) = E(1)$. Следовательно, вследствие потерь будет рассеиваться энергия</p> <p>$W = w(1 - \exp(-2\pi/Q))$. Так как в радиозлектронике $Q \gg 1$, то $\exp(-2\pi/Q) \approx 1 - 2\pi/Q \Rightarrow W = \tau \int_0^{2\pi} \frac{dW}{dt} dt = 2\pi w/P$</p> <p>попер. $W_{\text{пер}} = c_0 / 2 \int E^2 dV = \mu_0 / 2 \int H^2 dV$.</p> <p>$\eta_{\text{потер}} = 1 / 2 \text{Re} z_{\text{пл}} H_z ^2 = \sqrt{\frac{\mu_0}{8\sigma}} H_z ^2 \Rightarrow P_{\text{потер}} = \sqrt{\frac{\mu_0}{8\sigma}} \int H_z ^2 dV \Rightarrow Q = \frac{\int \sqrt{2\mu_0\sigma} H_z ^2 dV}{\int H_z ^2 dS}$, где w - резонансная частота.</p>	<p>Рассмотрим отдельные случаи</p> <p>1) $E_{\text{ос}}: H_{\phi} = H_0 J_1(v_0 r / a)$ (круглый резонатор длиной l и диаметром a)</p> $\int H^2 dV = 2\pi l \int_0^a \int_0^{2\pi} (v_0 r / a)^2 r dr = \pi a^2 H_0^2 (v_0 l)$ $\int H_z^2 dS = H_0^2 \int_0^a (v_0)^2 J_1^2(v_0 r / a) 2\pi r dr = 2\pi a^2 \int_0^1 J_1^2(v_0 x) dx \Rightarrow Q = \frac{\sqrt{\mu_0\sigma} a}{\sqrt{2(1+a)}}$ <p>$\lambda_0^{\text{рез}} = 2b/a$, $w_{\text{рез}} = \frac{2\pi c}{\lambda_0^{\text{рез}}} = 2.40 \text{rc}/a \Rightarrow Q_{\text{Е010}} = 21.3 \sqrt{\sigma a l} (a+1)$</p>
<p>88. Циліндричний резонатор (АйКов+Тім)</p> <ol style="list-style-type: none"> 1. ПРИНЦИПИ ВІДНОСНОСТІ: ГАЛІЛЕЯ ТА ЕЙНШТЕЙНА. СПЕЦІАЛЬНЕ ПЕРЕТВОРЕННЯ ЛОРЕНЦА. 2. ЗАГАЛЬНЕ ПЕРЕТВОРЕННЯ ЛОРЕНЦА. ОСНОВНІ ВЛАСТИВОСТІ ПЕРЕТВОРЕННЯ ЛОРЕНЦА. 3. РЕЛЯТИВІСТСЬКА КІНЕМАТИКА. ВЛАСНИЙ ЧАС. ВЛАСНА ДОВЖИНА. РЕЛЯТИВІСТСЬКЕ ДОДАВАННЯ ШВИДКОСТЕЙ. 4. ГЕОМЕТРІЯ 4-ПРОСТОРУ: МЕТРИКА, КО- ТА КОНТРА- ВАРІАНТНИ ВЕЛИЧИНИ. 5. ДИФЕРЕНЦІАЛЬНІ ОПЕРАЦІЇ В 4-ПРОСТОРІ. 4-ШВИДКІСТЬ І 4-ПРИСКОРЕННЯ. 6. ФУНКЦІЇ ЛАГРАНЖА ТА ГАМІЛЬТОНА РЕЛЯТИВІСТСЬКОЇ ЧАСТИНКИ. 7. КОВАРІАНТНЕ РІВНЯННЯ РУХА. 8. ЗАГАЛЬНІ ПРИНЦИПИ ПОБУДОВИ ТЕОРІЇ ПОЛЯ. ЕЛЕМЕНТАРНИЙ ЗАРЯД В КЛАСИЧНІЙ ТЕОРІЇ ПОЛЯ. 9. 4-ПОТЕНЦІАЛ ЕЛЕКТРОМАГНІТНОГО ПОЛЯ. ФУНКЦІЇ ЛАГРАНЖА ТА ГАМІЛЬТОНА РЕЛЯТИВІСТСЬКОЇ ЗАРЯДЖЕНОЇ ЧАСТИНКИ В ЕЛЕКТРОМАГНІТНОМУ ПОЛІ. 10. РІВНЯННЯ РУХА ЗАРЯДЖЕНОЇ ЧАСТИНКИ В ЕЛЕКТРОМАГНІТНОМУ ПОЛІ. СИЛА ЛОРЕНЦА. НАПРУЖЕНІСТЬ ЕЛЕКТРОМАГНІТНОГО ПОЛЯ. ОБЕРНЕНИЙ РУХ В ЕЛЕКТРОМАГНІТНОМУ ПОЛІ. 11. КАЛІБРУВАЛЬНА ІНВАРІАНТНІСТЬ. ТИПИ КАЛІБРОВОК. ФІЗИЧНИЙ ЗМІСТ СКАЛЯРНОГО І ВЕКТОРНОГО ПОТЕНЦІАЛА. 12. ТЕНЗОР ЕЛЕКТРОМАГНІТНОГО ПОЛЯ. ПОЛЯРНІ І АКСІАЛЬНІ ВЕКТОРИ. КОВАРІАНТНЕ РІВНЯННЯ РУХА ЗАРЯДА В ЕЛЕКТРОМАГНІТНОМУ ПОЛІ. 13. ПЕРЕТВОРЕННЯ ЛОРЕНЦА ДЛЯ ПОЛЯ. ІНВАРІАНТИ ЕЛЕКТРОМАГНІТНОГО ПОЛЯ. 14. 4-ВЕКТОР СТРУМУ ТА РІВНЯННЯ НЕПЕРЕРВНОСТІ. 15. ДІЯ СИСТЕМИ, ЩО СКЛАДАЄТЬСЯ ІЗ ЗАРЯДІВ І ЕЛЕКТРОМАГНІТНОГО ПОЛЯ. ЗАГАЛЬНІ ПРИНЦИПИ ПОБУДОВИ ТЕОРІЇ ПОЛЯ. 16. ВІВЕДЕННЯ РІВНЯНЬ МАКСВЕЛЛА В КОВАРІАНТНІЙ ФОРМІ З ВАРІАЦІЙНОГО ПРИНЦИПУ. 17. ІНТЕГРАЛЬНА ФОРМА РІВНЯНЬ МАКСВЕЛЛА ТА ЇЇ ЗВ'ЯЗОК З ЕКСПЕРИМЕНТАЛЬНИМИ ЗАКОНАМИ ЕЛЕКТРОМАГНІТИЗМА. 18. МЕЖОВІ УМОВИ ДЛЯ ВЕКТОРІВ ЕЛЕКТРОМАГНІТНОГО ПОЛЯ. 19. ЗАКОН ЗБЕРЕЖЕННЯ ЕНЕРГІЇ ЕЛЕКТРОМАГНІТНОГО ПОЛЯ. ТЕОРЕМА УМОВА-ПОЙНТИНГА. 20. РІВНЯННЯ ДЛЯ ЕЛЕКТРОМАГНІТНИХ ПОТЕНЦІАЛІВ (РІВНЯННЯ ДАЛАМБЕРА). 21. СТАЛЕ ЕЛЕКТРИЧНЕ ПОЛЕ. РІВНЯННЯ ЛАПЛАСА ТА ПУАССОНА ТА ЇХ ЗАГАЛЬНИЙ РОЗВ'ЯЗОК. 22. СТАЛЕ ЕЛЕКТРИЧНЕ ПОЛЕ НА ДАЛЕКИХ ВІДСТАНКАХ. ДИПОЛЬНИЙ І КВАДРУПЛЬНИЙ МОМЕНТИ. 23. РОЗКЛАД ЕЛЕКТРОСТАТИЧНОГО ПОЛЯ ЗА МІЛЬТИПОЛЯМИ. СИСТЕМА ЗАРЯДІВ У ЗОВНІШНЬОМУ ЕЛЕКТРОСТАТИЧНОМУ ПОЛІ. 24. СТАЛЕ МАГНІТНЕ ПОЛЕ. РІВНЯННЯ ЛАПЛАСА ТА ПУАССОНА ТА ЇХ ЗАГАЛЬНИЙ РОЗВ'ЯЗОК. 25. СТАЛЕ МАГНІТНЕ ПОЛЕ НА ДАЛЕКИХ ВІДСТАНКАХ. МАГНІТНИЙ ДИПОЛЬНИЙ МОМЕНТ. 26. ВЕКТОРНИЙ ПОТЕНЦІАЛ СТАЛОГО МАГНІТНОГО ПОЛЯ. МАГНІТНИЙ МОМЕНТ У ЗОВНІШНЬОМУ МАГНІТНОМУ ПОЛІ. ГІРОМАГНІТНЕ ВІДНОШЕННЯ. 27. ПЛОСКІ ЕЛЕКТРОМАГНІТНІ ХВИЛІ. ЗАГАЛЬНИЙ РОЗВ'ЯЗОК ХВИЛЬОВОГО РІВНЯННЯ. ОСНОВНІ ВЛАСТИВОСТІ. 28. ХВИЛЬОВИЙ 4-ВЕКТОР І ПОВЗДОВЖНИЙ ЕФЕКТ ДОПЛЕРА. 29. ХВИЛЬОВИЙ 4-ВЕКТОР І ПОПЕРЕЧНИЙ ЕФЕКТ ДОПЛЕРА. 30. ЧЕРВОННИЙ ЗСУВ. 31. ЧЕРВОННИЙ ЗСУВ. 32. СФЕРИЧНІ ХВИЛІ. ПОТЕНЦІАЛИ СПІЗНЕННЯ І ВИПЕРЕДЖЕННЯ. 33. ПОТЕНЦІАЛИ ЛЬСНАРА-ВІХЕРТА. 34. ЕЛЕКТРИЧНЕ ТА МАГНІТНЕ ПОЛЕ ТОЧКОВОГО ЗАРЯДУ, ЩО РУХАЄТЬСЯ ДОВІЛЬНИМ ЧИНОМ. 35. ЕЛЕКТРОМАГНІТНЕ ПОЛЕ ТОЧКОВОГО ЗАРЯДУ, ЩО РІВНОМІРНО РУХАЄТЬСЯ. 36. ВИПРОМІНЮВАННЯ ЕЛЕКТРОМАГНІТНИХ ХВИЛІ ТОЧКОВИМ ЗАРЯДОМ. ХВИЛЬОВА ЗОНА. КУТОВИЙ РОЗПОДІЛ ВИПРОМІНЮВАННЯ. 37. ВИПРОМІНЮВАННЯ ТОЧКОВОГО ЗАРЯДУ, ЩО РУХАЄТЬСЯ ПРЯМОЛІНІЙНО. ФОРМУЛА ЛАРМОРА. ДІАГРАМА НАПРАВЛЕНОСТІ. 38. ЦИКЛОТРОННЕ ТА СИНХРОТРОННЕ ВИПРОМІНЮВАННЯ ТОЧКОВОГО ЗАРЯДУ. ДІАГРАМА НАПРАВЛЕНОСТІ. 39. ЗАПІЗНОВАЛЬНІ ТА ВИПЕРЕДЖАЮЧІ ПОТЕНЦІАЛИ 40. ПОТЕНЦІАЛИ ЕЛЕКТРОМАГНІТНОГО ПОЛЯ В ХВИЛЬОВІЙ ЗОНІ 41. ЕЛЕКТРИЧНЕ ДИПОЛЬНЕ ВИПРОМІНЮВАННЯ 42. СКАЛЯРНИЙ ПОТЕНЦІАЛ В ДИПОЛЬНОМУ НАБЛИЖЕННІ 43. ВИПРОМІНЮВАННЯ ЕЛЕМЕНТАРНОГО ВІБРАТОРА 44. ВЕКТОР УМОВА-ПОЙНТИНГА В ЕЛЕКТРОДИПОЛЬНОМУ НАБЛИЖЕННІ. 	<ol style="list-style-type: none"> 45. ОПІР ВИПРОМІНЮВАННЯ КОРОТКОГО ДИПОЛЯ. 46. ВИПРОМІНЮВАННЯ ДИПОЛЯ, ЩО РІВНОМІРНО ОБЕРТАЄТЬСЯ. 47. МАГНІТНЕ ДИПОЛЬНЕ ВИПРОМІНЮВАННЯ. ПОТЕНЦІАЛИ ПОЛЯ. 48. НАПРУЖЕНІСТІ ПОЛІВ ДЛЯ МАГНІТО-ДИПОЛЬНОГО ВИПРОМІНЮВАННЯ. 49. ЕЛЕКТРОКВАДРУПЛЬНЕ ВИПРОМІНЮВАННЯ. ПОТЕНЦІАЛИ ПОЛІВ. 50. НАПРУЖЕНІСТІ ПОЛІВ ЕЛЕКТРОКВАДРУПЛЬНОГО ВИПРОМІНЮВАННЯ. 51. ОПІР ВИПРОМІНЮВАННЯ ДЛЯ КВАДРУПЛЬНОЇ АНТЕНИ. 52. ВИПРОМІНЮВАННЯ КОРОТКОГО ДИПОЛЯ В БЛИЖНІЙ ЗОНІ. 53. ПОТЕНЦІАЛИ ПОЛЯ В БЛИЖНІЙ ЗОНІ. 54. ПОЛЕ ВИПРОМІНЮВАННЯ В БЛИЖНІЙ ЗОНІ. НАПРУЖЕНІСТІ ПОЛІВ В СФЕРИЧНІЙ СИСТЕМІ КООРДИНАТ. 55. ВИПРОМІНЮВАННЯ ЛІНІЙНОЇ АНТЕНИ 56. ВИПРОМІНЮВАННЯ КОЛОВОГО СТРУМУ 57. АНТЕННИЙ ОПІР ВИПРОМІНЮВАННЯ 58. ВИПРОМІНЮВАННЯ В БЛИЖНІЙ ЗОНІ 59. КЛАСИЧНИЙ ЧАС ЖИТТЯ АТОМІВ 60. ШИРИНА ЛІНІЙ ВИПРОМІНЮВАННЯ 61. ІНДИКАТРИСА ВИПРОМІНЮВАННЯ НАПІВХВИЛЬОВОЇ ТА ОДНОХВИЛЬОВОЇ АНТЕН. 62. СИЛА ПРОМЕНЕВОГО ТЕРТЯ 63. ЗВ'ЯЗАНІ ЗАРЯДИ І ПОЛЯРИЗАЦІЯ. ВНОСОК МАГНІТНОГО МОМЕНТА В СЕРЕДНІЙ СТРУМ. 64. МАТЕРІАЛЬНІ РІВНЯННЯ. ЕЛЕКТРЕТИ ТА СЕГНЕТОЕЛЕКТРИКИ. 65. ФУНКЦІЯ ВІДГУКА І ПРИНЦИП ПРИЧИННОСТІ. 66. НЕЛІНІЙНІ ЕФЕКТИ ДРУГОГО ПОРЯДКА. 67. СИМЕТРІЯ І ТЕНЗОРНІ ХАРАКТЕРИСТИКИ РЕЧОВИНИ. ОПЕРАЦІЇ СИМЕТРІЇ В КРИСТАЛАХ. 68. КЛАСИЧНА ТЕОРІЯ ДІЕЛЕКТРИЧНОЇ ПРОНИКЛИВОСТІ. ДІЮЧЕ ПОЛЕ. 69. ФОТОНІ І ПОЛЯРИТОНІ. СПІВВІДНОШЕННЯ НЕВИЗНАЧЕНОСТІ ДЛЯ ФАЗИ ХВИЛІ І КІЛЬКОСТІ ФОТОНІВ. 70. ДИСПЕРСИЯ ПОЛЯРИТОНІВ. 71. ПОЗДОВЖНІ ХВИЛІ. ПРЕДСТАВЛЕННЯ ПЛОСКИХ ХВИЛІ. СПІВВІДНОШЕННЯ САХА-ТЕЛЛЕРА. 72. РІВНЯННЯ МАКСВЕЛЛА-ЛОРЕНЦА 73. МАКРОСКОПІЧНІ РІВНЯННЯ МАКСВЕЛЛА 74. ДИНАМІЧНИЙ ВІДГУК 75. СИМЕТРІЯ І ТЕНЗОРНІ ХАРАКТЕРИСТИКИ РЕЧОВИНИ 76. ТЕНЗОРИ ВИЩИХ РАНГІВ 77. ДІЕЛЕКТРИЧНА ПРОНИКЛИВІСТЬ 78. СПІВВІДНОШЕННЯ КРАМЕРСА-КРОНІНГА 79. ЕФЕКТ ГУСА-ХЕНХЕНА. ПОВНЕ ВНУТРІШНЄ ВІДБИВАННЯ 80. УКОРЧЕНІ РІВНЯННЯ. СОЛІТОНІ 81. ХВИЛІВЕДОДА ТА РЕЗОНАТОРИ (САМОСТІЙНА РОБОТА) 82. ТИПИ ХВИЛІ У ХВИЛІВЕДАХ 83. ТЕ І ТМ ХВИЛІ В ПРЯМОКУТНОМУ ХВИЛІВЕДІ 84. ТЕМ-ХВИЛІ В КОАКСІАЛЬНОМУ ХВИЛІВЕДІ 85. ПРЯМОКУТНИЙ РЕЗОНАТОР 86. ВТРАТИ ХВИЛІ В ХВИЛІВЕДАХ 87. ДОБРОТНІСТЬ РЕЗОНАТОРА 88. ЦИЛІНДРИЧНИЙ РЕЗОНАТОР